

地震記録の波動論的考察

東北工業大学 正員 神山 真

1: まえがき 地震波には大別して実体波と表面波が存在する。このうち、近来の地震学に考慮されていたのは実体波のみである。確かに加速度、速度など、幾つかの量を考慮し、共振的観察の立場で、地盤構造を考慮する限り、浅い部分より深い実体波と表面波の実質的差違はないものと思われる。しかし一方で、地震時に地盤内に生じる応力、ひずみ、ひずみの速度など、表面波は実体波より数段危険を伴うのである。従って、地震時の地盤変状を考察する際には地震動そのものの波動伝播特性についての基本的考察が極めて重要なことである。著者は地震時にあける地盤内の応力、ひずみの評価に興味を持ち、これを既に指摘した。

上記の観察から、一例として1968年ナガサキ地震の際、八戸港湾で記録されたSMAC 地震記録²⁾における波動論的考察を行なったので以下に報告する。尚、本文は Love 波を中心として述べ、Rayleigh 波については割り切ることとする。

2: 八戸港湾SMAC実地震における波動伝播特性の説明計算

1968年ナガサキ地震の八戸港湾SMAC 地震記録³⁾における表面波の存在は既に述べたが、本論文ではこれについても論じておらず、ここでは主として地盤構造を考慮して論じておるものである。その後、幾つかの調査により水深400mまでの深さの地盤構造が八戸SMAC 実震において明らかにされていく。ここでは、八戸SMAC 地震記録に対するこの程度の深さまで地盤構造を考慮した場合の波動論的考察を行なう。併べ、本文では実体波として S 波が真下から入射する場合の波多重反射理論、表面波として Love 波を真面目に比較考察する。

表-1は幾つかの調査の実測に基づいて得られた構造を総合して、及ぼす八戸SMAC 実震における地盤構造モデルである。(国鉄技術研究所の「地盤構造」、島の「地盤構造」、周囲の表面波を利用した弹性波探査結果を引用) 表-1の地盤構造モデルに対して、S 波が真下から入射した場合の波多重反射理論による層内波スペクタルを計算した結果が Fig.-1 である。更に、同モデルに対して Love 波の群速度分散曲線を基本として L-shaped 高次の L-shaped 曲線を用いて、Love 波の層内周波数を求めた結果が Fig.-2 である。また、この分散曲線を用いて、Love 波の層内周波数を求めた結果が Fig.-3 である。(層内周波数の計算は Harkerider⁴⁾によつた。) Love 波の計算において群速度は極小となる周期と層内周波数の比と谷の周期はほとんど一致する。Fig.-4 は八戸SMAC記録(N-S成分)の大加速度付近(10秒間(30~40秒))を Fourier 解析して得たスペクタルである。

上記の結果と Fig.-1 の波多重反射の増や度スペクタルと Love 波の層内周波数を比較すると、Fig.-2 と谷の周期はほとんど一致する。(ことは必ずしも一致しない。

表-1 八戸SMAC実地震地盤構造モデル

層厚(m)	S波速度(cm/sec)	密度(g/cm ³)
2	100	1.8
2	160	1.8
6	195	1.9
2	380	2.0
1	200	2.0
4	375	1.6
1	200	1.6
10	430	1.6
8	270	1.7
144	370	1.9
180	690	2.0
20	1100	2.1
∞	2800	2.5

(このことはあらゆる周期の観測でSMA_C記録のFourierスペクトルと全く同じ周期と良く一致する。) しかし、十勝沖地震の八戸SMA_C記録は波動論的問題は別として、ここで考へる深さ程度の地盤構造影響を受けていふことはほぼ確定と思われる。以上述べたことから、S波双曲反射、Love波の卓越性、スペクトルビーグの周期を参考るとSMA_C記録を説明するには可能である。ここでは前述の深さから見てより共震的觀対から震源性を講論する限り、実際波の表面波との実質的差違はないことを意味するといふ。

Fig-2 LOVE波群速度分散曲線

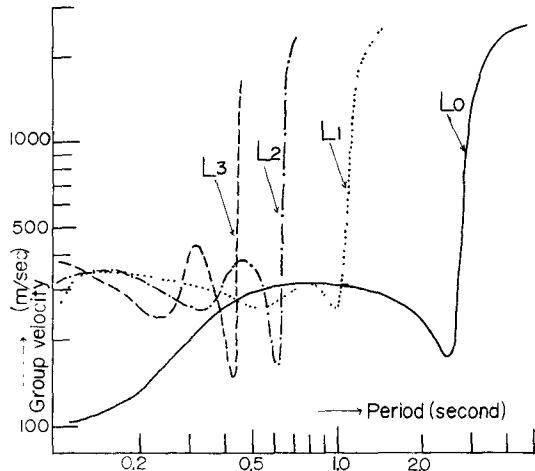
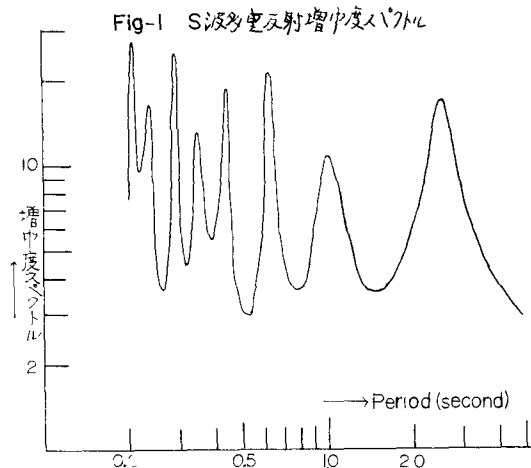


Fig 4. $\beta_{SMA(C)} \cdot SMAX, 3C = 70 \text{ sec}$ Fourierスペクトル

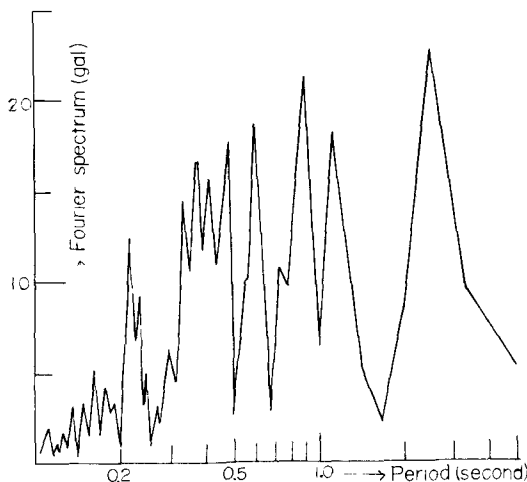
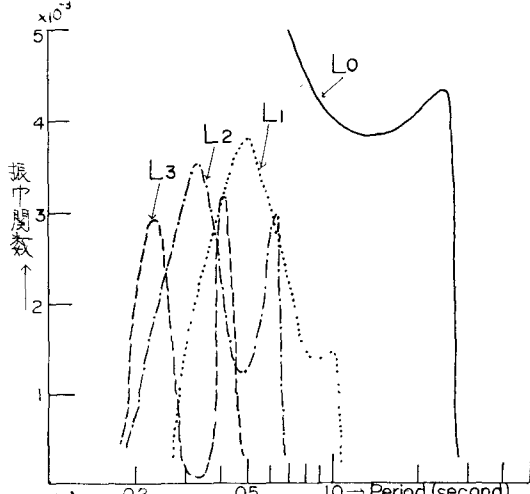


Fig-3 LOVE波振巾曲数



3: マルチフィルターを用いた八戸SMA_C記録の解析と考察

以上述べたように一般的Fourier解析によるスペクトルの考察ではSMA_C記録の波動論的特性は明確でない。Fourierスペクトルやパワースペクトル解析は瞬時スペクトルの把握には不適当であり、波動論的考察を行ふ上で重要な多段階スペクトルの経時的変化を知るにはマルチフィルターによる解析の有効であることは既に報告¹⁾した。本研究においても八戸SMA_C記録に対してマルチフィルターを用いた解析を施した。Fig-5, Fig-6は各々八戸SMA_C記録N-5成分、E-5成分に対する20秒から60秒までの40秒間を解析した結果である。(因に付すまでも実験はコンターメトリックであり、実験は後述の通りである) これは最大値を50に正规化したスペクトル

の経時的変遷であり、周期別にみたエネルギーの時間的分布図である。

図4へ、Fig.4のFourierスペクトルはFig.5 にて示してある記録N-S成分の30~40秒間を解析したものであるが、Fig.4とFig.5の違いは歴然である。Fig.5, Fig.6の解析結果をみると、スマートレベルにおいてピークとなる時刻が周期によって異なることが明瞭に識別される。しかも、その異時性はかなり規則的である。このこと自体、ここで記録されてくる波動は周期によって、SMAC尖へ到達する時刻が異なる性質、即ち分散性をもつてゐることに他ならない。波動論的には、定体波には分散性は見えられないが、当然のことながら、この記録は表面波的特性が強いといふことになる。

ところで、Fig.5のN-S成分とFig.6 のE-W成分の解析結果を比較すると、いがんも分散性がありしかも、その規則性は著しく異なる。記録全体をみて N-S成分は短周期(0.2~0.6秒)の方であります。E-W成分は周期1.0秒附近が強く表われてゐる。このことは解析結果にも現れてゐる。このことは解析結果にも現れてゐる。

周知の如く1968年十勝沖地震の震源は八戸のほぼE-W方向に位置する。山ガラ等を解説を併せば、八戸SMAC記録におけるN-S成分はLove波と、E-W成分はRayleigh波を記録し易いといふことである。この解説は既に述べたが、これは震源方向とSMAC計の記録方向の対応性、又は地質地盤中の波動伝播の複雑

Fig.5 ハッスマック(N-S)マルチフィルタ解析結果

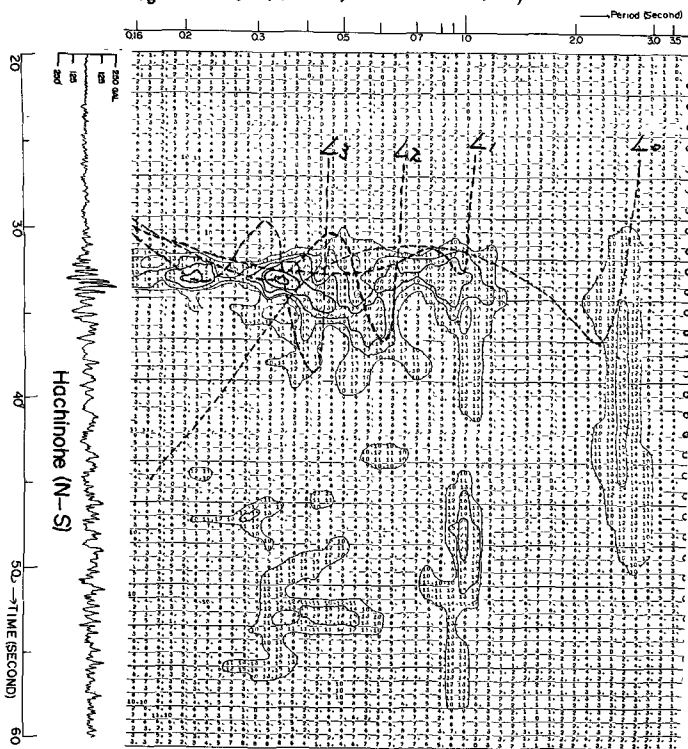
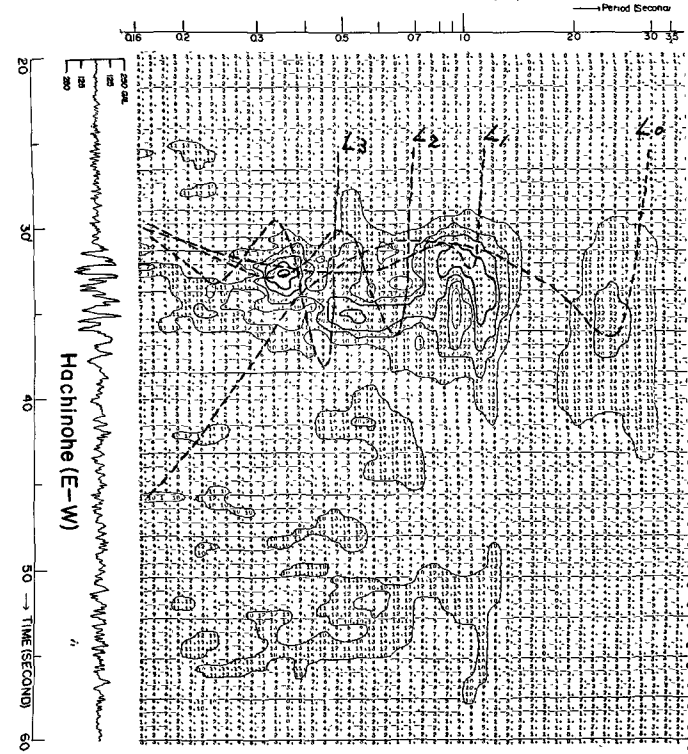


Fig.6 ハッスマック(E-W)マルチフィルタ解析結果



性を考慮すれば、必ずしも上のようになるはず、N-S成分、E-W成分の各々は Love 波、Rayleigh 波の混在を及ぼすのが妥当であるが、傾向として議論する限り、N-S成分、E-W成分は各々 Love 波、Rayleigh 波が強いため、一方、直角方向と見なされる。

さて、この問題となるのは Fig 5, Fig 6 のマルチモルターディスク法による分散性が先に述べた Love 波の議論分散特性との程度まで説明される事ができるかという事である。ここで考えておきたい地盤深さ（大体 700m）での分散性がどうなれば最適かを考察するには現在の表面波伝播の知識が大いに分かなければ困難である。ところは表面波伝播方向での地盤構造の不連続性が波動伝播への影響は議論的尚未解決が多いためである。確かに地震学で行なわれて来た地盤レバーリング調査を参考して、分散性を論ずる場合、震源と観測実験間に水平方向の構造を及ぼしてしまった段階はさて置かれて、ここで考えている地盤深さでは、そのまま上の方法を適用できることには明白である。（十勝沖地震での震源とハドソン（支の震央距離は約 180km であり、その距離にかかる 700m の地盤構造の連続性は既述した通りと推定される）である。）

表面波伝播に対する地盤構造の不連続の影響については今後の課題として、ここでは、一つの基礎的解釈として、表-1 に示した地盤構造モデルがハドソン震源方向に向かってある距離のところまで連続してあるとする。そして、Love 波が震源からハドソン震源方向へ向かって伝播する過程において、この距離の附近より、先に求めたように Fig 5 の Love 波の分散周波数が生じ、これが SMAC 記録に表されて伝達する。Fig 5, Fig 6 における実験は因みにハドソン震源とその近傍の表面波伝播特性として、この議論的分析による Love 波の群速度分散周波数である。既に述べたように群速度の極小となる周期は振巾の比で 2 となり周期である。丁度、こゝに示すように群速度の極小となる周期は振巾の比で 2 となり周期である。つまり、こゝに示すように群速度の極小となる周期は振巾の比で 2 となり周期である。これが SMAC 記録に表される分散周波数は 0.2~0.6 秒である。全体的に見て説明される。しかし、N-S 成分における短周期 (0.2~0.6 秒) での高次モードの Love 波、反対は明瞭に消滅する。一方、E-W 成分における周期 1.0 秒付近の高次モードの分散性は Love 波の分散特性による説明が不明確である。これは Rayleigh 波の分散特性を参考して良好に説明される。（これは別途報告する。）こゝに示す、既に述べたように N-S 成分、E-W 成分は Love 波、Rayleigh 波の混在を含むが、一方、Love 波、Rayleigh 波の弱い部分は E-W 成分の傾向は分散周波数の考察においても一方、直角方向と見なされる。

以上より、震源を定量的解釈は今後の課題として、少なくとも定性的にはハドソン震源の主震動の深さ 400m 程度の地盤構造の影響を受けた表面波であることは確実である。主震動の主震動が表面波であることは前述に立てば、本文でも山田によれば表面波が渦状に生じる水平方向の地盤構造不連続の影響を地震工学にてて今後、重要な問題であることが分かる。

最後に、日頃、貴重な地震記録を提供しておられる運輸省港湾技術研究所の皆様に感謝致します。

（参考文献）

- 1) 神山：「地震時における地盤の能力、ひずみの評価について」 第 9 国土工学研究発表会 (1974)
- 2) 土田他：「1968 年十勝沖地震とその余震の沿岸地域における地震記録」 海洋技術資料 No. 80 (1969)
- 3) 山田：「震源地動と見られる表面波成分」 第 3 国日本地震工学シンポジウム (1970)
- 4) 旗原：「地震波推定のための地下構造調査」 鉄道技術研究報告 No. 743 (1971)
- 5) 大庭他：「1968 年十勝沖地震におけるハドソンの震源地動と地盤特性」 文部省災害科学研究班報告 (1972)
- 6) Harbider：「Surface Waves in multilayered elastic media I」 Bull. Seis. Soc. Am. 58 (1968)
- 7) 神山：「マルチモルターディスク法による震源地動の解析」 土木学会東北支部技術研究発表会 (1974)